

УДК 539.194.01

## ВЫСШИЕ КОЛЕБАТЕЛЬНЫЕ СОСТОЯНИЯ МНОГОАТОМНЫХ МОЛЕКУЛ. I

A. A. Овчинников и H. C. Эрихман

В работе рассматриваются колебательные состояния молекул типа  $\text{H}_2\text{O}$ . Предположено, что молекулы такого типа описываются моделью двух одинаковых слабо связанных ангармонических квантовых осцилляторов. С помощью этой модели вычислено расщепление частот симметричного и антисимметричного колебаний ( $A_1$ - и  $B$ -колебаний). Для колебания с  $N=10$  это расщепление оказывается  $\sim 4 \cdot 10^{-8} \text{ см}^{-1}$ , что много меньше основной частоты  $3900 \text{ см}^{-1}$ . Время перехода возбуждения с одной  $\text{OH}$ -связи на другую порядка  $10^{-3}$  сек. Ввиду малости расщепления делается вывод о возможности замораживания колебательной энергии на одной из  $\text{OH}$ -связей.

Настоящая работа посвящена выяснению возможности локализации колебательной энергии на валентной связи в молекулах типа  $\text{XY}_2$ . С этой целью получена и исследована зависимость времени перехода колебательной энергии с одной связи на другую от номера уровня, константы ангармонизма валентного колебания и константы взаимодействия между связями.

Рассмотрим молекулу типа  $\text{XY}_2$ . Будем считать, что масса центрального атома  $m_x$  много больше  $m_y$ . К числу таких молекул относятся молекулы  $\text{H}_2\text{O}$ ,  $\text{D}_2\text{O}$ ,  $\text{H}_2\text{S}$  и некоторые другие. В этом случае молекулярные колебания хорошо описываются моделью трех слабо связанных ангармонических осцилляторов,<sup>1</sup> два из которых соответствуют колебаниям валентных связей, а третий — изменению угла между ними. Причиной этого является то, что потенциальная энергия в нулевом приближении представляется моделью валентных сил [1, 2], а кинематическое взаимодействие мало ввиду малости отношения масс ( $m_y/m_x \ll 1$ ). Можно показать, что влияние деформационного колебания на время перехода энергии высоковозбужденного колебания с одной связи на другую пренебрежимо мало [3]. Поэтому при расчете можно ограничиться моделью двух слабо связанных ангармонических осцилляторов. Гамильтониан такой системы имеет вид

$$\hat{H} = \hat{H}_0 + \hat{W}, \\ \hat{H}_0 = \omega \left\{ -\frac{1}{2} \frac{\partial^2}{\partial x^2} + U(x) - \frac{1}{2} \frac{\partial^2}{\partial y^2} + U(y) \right\}, \quad \hat{W} = \left( -2\beta_k \frac{\partial^2}{\partial x \partial y} + 2\beta_d xy \right), \quad (1)$$

где  $x$  и  $y$  — изменения длины связей,  $\omega$  — частота валентного колебания,  $\beta_k$  и  $\beta_d$  — константы кинематического и динамического взаимодействия. В формуле (1) частота  $\omega$  и параметры  $\beta_k$  и  $\beta_d$  выражены в обратных сантиметрах. Слабая связь означает, что  $|\beta_k/\omega| \ll 1$  и  $|\beta_d/\omega| \ll 1$  (для молекулы  $\text{H}_2\text{O}$  эти величины  $\sim 0.01$ ). В качестве кривых потенциальной энергии  $U(x)$  и  $U(y)$  мы выбираем потенциал Морзе.

Как показано в работе [4], при наличии ангармонизма и слабой связи между двумя одинаковыми осцилляторами возможна локализация колебательной энергии на одном из них.

<sup>1</sup> Это верно, если энергия колебаний не слишком близка к энергии диссоциации.

Физическая причина этого явления состоит в следующем. Представим, что первый осциллятор находится на  $n$ -м уровне, а второй — на нулевом, тогда в силу соотношения  $E_n - E_{n-1} \neq E_1 - E_0$  (осцилляторы ангармонические) и закона сохранения энергии первый осциллятор не может отдать один квант энергии другому осциллятору и таким образом передать часть энергии (что вполне осуществимо для гармонических осцилляторов). Для ангармонических осцилляторов возможна только передача всей энергии от одного осциллятора к другому. Однако, как показано в настоящей работе, время такой передачи для высоковозбужденных колебаний оказывается на несколько порядков больше, чем время перехода для колебаний с номером  $n=1$ .

Для вычисления времени перехода колебательной энергии с одной связи на другую достаточно вычислить энергетическое расщепление  $\varepsilon_n(N)$  симметричного и антисимметричного колебательных состояний [5], которые составляются из вырожденных состояний гамильтониана  $\hat{H}_0$ . Этим состояниям соответствуют собственные функции вида

$$\begin{aligned} |n, N-n\rangle_{(S)} &= \frac{|n, N-n\rangle + |N-n, n\rangle}{\sqrt{2}}, \\ |n, N-n\rangle_{(A)} &= \frac{|n, N-n\rangle - |N-n, n\rangle}{\sqrt{2}}, \end{aligned} \quad (2)$$

где вектор состояния  $|n, N-n\rangle$  описывает возбуждение, при котором  $n$  квантов находится на первом осцилляторе и  $N-n$  квантов — на втором. Следует подчеркнуть, что благодаря ангармонизму валентных колебаний вырожденными состояниями в нулевом приближении по  $\beta$  являются лишь состояния  $|n, N-n\rangle$  и  $|N-n, n\rangle$ , а не все состояния вида  $|m, N-m\rangle$ , как это было бы в гармоническом случае. Это приводит к тому, что собственные функции имеют вид (2). Сделанные замечания показывают, что ангармонизм колебаний в системе двух слабо связанных одинаковых осцилляторов приводит не к малым поправкам в стационарных волновых функциях, а радикально меняет их вид и характер колебания. Математические условия ангармоничности колебаний можно выразить с помощью неравенства

$$|E_{n, N-n} - E_{n+1, N-n-1}| \geq 2\beta, \quad (3)$$

где  $E_{n, N-n}$  — энергия состояния  $|n, N-n\rangle$  при  $\beta=0$ . В случае потенциала Морзе  $E_{n, N-n}$  имеет вид

$$E_{n, N-n} = \omega \left\{ (N+1) - \frac{x_e}{\omega} \left[ \left( n + \frac{1}{2} \right)^2 + \left( N - n + \frac{1}{2} \right)^2 \right] \right\}, \quad (4)$$

где  $\omega$  и  $x_e$  — параметры потенциала (для молекулы  $H_2O$   $\omega=3900$ ,  $x_e=-100 \text{ см}^{-1}$ ). Из (3) и (4) следует, что при увеличении полного числа квантов  $N$  фиксированном  $n$  наступает момент, когда стационарные волновые функции имеют вид (2) и характер колебаний существенно отличается от гармонического, даже если при малых  $N$  ангармонические поправки малы.

Перейдем к вычислению энергетического расщепления  $\varepsilon_n(N)$ , которое с временем перехода  $\tau_n(N)$  связано соотношением [5]

$$\tau_n(N) = \frac{\pi}{\varepsilon_n(N)}. \quad (5)$$

Расчет энергетического расщепления  $\varepsilon_n(N)$  в первом порядке по константам взаимодействия  $\beta_k$  и  $\beta_d$  сводится к вычислению матричных элементов  ${}_{(S)}\langle n, N-n | \hat{W} | n, N-n \rangle_{(S)}$  и  ${}_{(A)}\langle n, N-n | \hat{W} | n, N-n \rangle_{(A)}$ . Результаты такого расчета приведены в работе [6] и дают следующее выражение для величины  $\varepsilon_n(N)$ :

$$\varepsilon_n(N) = \frac{(N-2n)(\beta_k/\omega) + (\beta_d/\omega)}{(x_e/\omega)} \frac{(x_e/\omega)^{N-2n} (N-n)!}{(N-2n)^2 n!}. \quad (6)$$

Подставляя в (6) параметры молекулы  $H_2O$  и  $D_2O$  [7],  $\omega = 3900 \text{ см}^{-1}$ ,  $\beta_k/\omega = 0.016$ ,  $\beta_d/\omega = -0.01$ ,  $x_e/\omega = 0.025$  и  $\omega = 3000 \text{ см}^{-1}$ ,  $\beta_k/\omega = -0.032$ ,  $\beta_d/\omega = 0.006$ ,  $x_e/\omega = 0.013$  соответственно, получим при  $N=10$  и  $n=0$  следующие значения для  $\varepsilon_0$  (10)= $\varepsilon_{10}$ :

$$\varepsilon_{10} = -0.14 \cdot 10^{-8} \text{ см}^{-1} (H_2O); \quad \varepsilon_{10} = -0.56 \cdot 10^{-11} \text{ см}^{-1} (D_2O). \quad (7)$$

Такие малые значения величины расщепления  $\varepsilon_{10}$  возникают из-за малости параметра  $x_e/\omega \sim 0.025$ , который в формуле (6) для энергетического расщепления  $\varepsilon_n(N)$  входит в  $(N-2n)$ -й степени. Естественно поэтому вычислить вклад в расщепление  $\varepsilon_n(N)$ , возникающий от членов более высокого порядка по константам взаимодействия  $(\beta_k/\omega)$  и  $(\beta_d/\omega)$ , но зато более низкого порядка по параметру  $(x_e/\omega)$ .

Вычисление вклада таких членов сводится к диагонализации матрицы, составленной из матричных элементов оператора  $\hat{H}$  между всеми возможными состояниями  $|n, N-n\rangle$ , в которых полное число квантов  $N$  остается неизменным. Поскольку мы хотим получить вклад от членов наименее высокого порядка по параметру  $(x_e/\omega)$ , вычисление матричных элементов  $\langle n, N-n | \hat{H} | m, N-m \rangle$  можно проводить с гармоническими функциями. Обозначая через  $v_{mn}$  ту часть матричного элемента  $\langle n, N-n | \hat{H} | m, N-m \rangle$ , которая зависит от индексов  $m$  и  $n$ , получим следующее выражение для величины  $v_{mn}$ :

$$v_{mn} = 2x_e(nN - n^2)\delta_{mn} + \beta \{\sqrt{n(N-n+1)}\delta_{m,n-1} + \sqrt{(n+1)(N-n)}\delta_{m,n+1}\}, \quad (8)$$

где  $\beta = \beta_k + \beta_d$ . Секулярное уравнение, соответствующее матрице (8), имеет вид

$$2x_e(Nn - n^2)C_n + \beta\sqrt{n(N-n+1)}C_{n-1} + \beta\sqrt{(n+1)(N-n)}C_{n+1} = EC_n. \quad (9)$$

Уравнение (9) инвариантно относительно замены  $n \rightarrow N-n$ . Это означает, что все его решения распадаются на симметричные, не меняющие знак при такой подстановке, и антисимметричные, меняющие знак при этой замене. Можно показать, что симметричные и антисимметричные термы при изменении параметра  $\beta$  не пересекаются.

Для вычисления  $\varepsilon_n(N)$  необходимо диагонализовать матрицу (8). Аналитическое решение этой задачи в общем случае невозможно. Однако во многих практических интересных случаях выполнено условие

$$x_e \gg \beta. \quad (10)$$

Это позволяет рассматривать недиагональную часть матрицы  $V_{mn}$  как возмущение (см. ниже), причем малым параметром является величина

$$\frac{1}{\gamma} = \frac{\beta}{2x_e}. \quad (11)$$

В уравнении (9) удобно сделать замену

$$C_n = \frac{\psi_n}{\sqrt{n!(N-n)!}}, \quad (12)$$

тогда система (9) преобразуется к виду

$$(Nn - n^2)\psi_n + \frac{1}{\gamma}(n\psi_{n-1} + (N-n)\psi_{n+1}) = \varepsilon\psi_n \quad (13)$$

или

$$\left(\varepsilon_0 + \frac{1}{\gamma}\hat{Z}\right)\psi = \varepsilon\psi, \quad (14)$$

где  $\hat{\varepsilon}_0$  и  $\hat{Z}$  — диагональная и недиагональная части ядра линейной системы (13) и  $\varepsilon = E/2x_e$ . Матрица оператора в базисе симметричных и антисимметричных состояний имеет вид

$\begin{array}{l} 0, N, 0 \dots \\ 1, 0, N-1, 0 \dots \\ \dots \dots \dots \\ \dots \dots \dots \\ \dots 0, \frac{N}{2}+2, 0 \\ \dots \frac{N}{2}-1, 0, \frac{N+2}{\sqrt{2}} \\ \dots 0, \frac{N}{\sqrt{2}}, 0 \end{array}$	0	$\begin{array}{l} 0, N, 0 \dots \\ 1, 0, N-1, \dots \\ \dots \dots \dots \\ \dots \dots \dots \\ \dots 0, 0, \frac{N+3}{3} \\ \dots 0, \frac{N-1}{2}, \frac{N+1}{2} \end{array}$	0	(15)
$\begin{array}{l} 0, N, 0 \dots \\ 1, 0, N-1 \dots \\ \dots \dots \dots \\ \dots \dots \dots \\ \dots 0, \frac{N}{2}+2 \\ \dots \frac{N}{2}-1, 0 \end{array}$	0	$\begin{array}{l} 0, N, 0 \dots \\ 1, 0, N-1 \dots \\ \dots \dots \dots \\ \dots \dots \dots \\ \dots 0, \frac{N+3}{2} \\ \dots \frac{N-1}{2}, -\frac{N-1}{2} \end{array}$	0	Q.

или

$$\hat{Z} = \begin{pmatrix} Z^{(S)} & 0 \\ 0 & Z^{(A)} \end{pmatrix}, \quad (16)$$

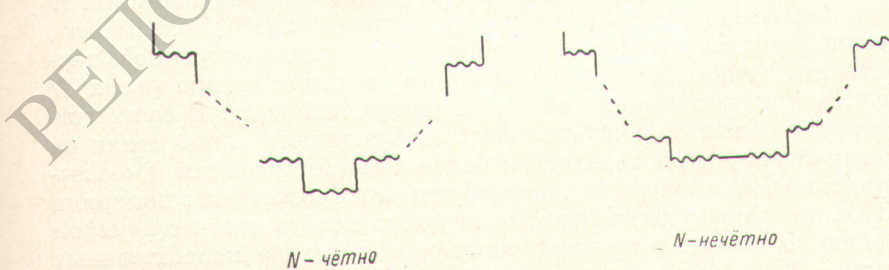
где матрицы операторов  $Z^{(S)}$  и  $Z^{(A)}$  очевидным образом получаются из (15). Поправки  $l$ -го порядка к энергиям симметричного и антисимметричного терма выражаются через операторы  $Z^{(S)}$  и  $Z^{(A)}$  с помощью следующих формул:

$$\begin{aligned} \varepsilon_n^{(l, S)} &= {}_{(S)}\langle n, N - n | \hat{Z}^{(S)} \left[ \frac{1}{\varepsilon_n^{(0)} - \hat{\varepsilon}_0} \hat{Z}^{(S)} \right]^{l-1} | n, N - n \rangle_{(S)} \left( \frac{1}{\gamma} \right)^l, \\ \varepsilon_n^{(l, A)} &= {}_{(A)}\langle n, N - n | \hat{Z}^{(A)} \left[ \frac{1}{\varepsilon_n^{(0)} - \hat{\varepsilon}_0} \hat{Z}^{(A)} \right]^{l-1} | n, N - n \rangle_{(A)} \left( \frac{1}{\gamma} \right)^l. \end{aligned} \quad (17)$$

Используя (17), можно вычислить энергетическое расщепление симметричного и антисимметричного термов  $\varepsilon_n^{(l)}$ , которое дается выражением

$$\varepsilon_n^{(l)} = \varepsilon_n^{(l, S)} - \varepsilon_n^{(l, A)}. \quad (18)$$

При вычислении  $\varepsilon_n^{(l)}$  использовался диаграммный метод. При этом не трудно убедиться, что величина  $\varepsilon_n^{(l)}$  будет отлична от нуля только при  $l \geq N - 2n$ . Таким образом, главный вклад в расщепление  $\varepsilon_n(N)$  дают члены  $(N - 2n)$ -го порядка по параметру  $(1/\gamma)$ . Соответствующие диаграммы показаны на рисунке.



На этом рисунке волнистая линия обозначает величину  $1/\varepsilon_n^{(0)} - \varepsilon_j^{(0)}$ , вертикальная черточка — матричный элемент  $\hat{Z}_{j,j+1}/\gamma$  и горизонтальная —

матричный элемент  $\hat{Z}_{(N-1)/2(N-1)/2}/\gamma$ , причем в случае четного  $N$  имеется одна диаграмма  $(N - 2n)$ -го порядка, отличная от нуля, а при нечетном — две одинаковые диаграммы  $(N - 2n)$ -го порядка. Вычисление этих диаграмм приводит к следующей формуле для расщепления:

$$\epsilon_n(N) = (-1)^{N+1} \frac{2(N-n)!}{n! [(N-2n-1)!]^2} \left(\frac{1}{\gamma}\right)^{N-2n} (2x_e). \quad (19)$$

При  $N \gg n$ , учитывая следующий член разложения по  $(1/\gamma)$ , получим

$$\epsilon_n(N) = (-1)^{N+1} \frac{2(N-n)!}{n! [(N-2n-1)!]^2} \left\{ 1 + \frac{2 \ln N}{\gamma^2} \frac{N}{N} \right\} \left(\frac{1}{\gamma}\right)^{N-2n} (2x_e). \quad (20)$$

Из (20) видно, что следующий член разложения становится сравнимым с первым при  $\gamma \sim \sqrt{2/N}$ . Отсюда получаем условие применимости формул (19) и (20)

$$\gamma > \sqrt{\frac{2}{N}} \quad \text{или} \quad \frac{\beta}{2x_e} < \sqrt{\frac{N}{2}}. \quad (21)$$

Используя формулы (19) и (5), подсчитаем энергетическое расщепление и время перехода для уровня с  $N=10$  и  $n=0$ . Результаты расчета приведены в таблице.

Молекула	$\omega, \text{ см}^{-1}$	$\beta, \text{ см}^{-1}$	$x_e, \text{ см}^{-1}$	$\epsilon_{10}, \text{ см}^{-1}$	$\tau_{10}, \text{ сек.}$
$\text{H}_2\text{O}$	3900	50	100	$0.18 \cdot 10^{-7}$	$10^{-3}$
$\text{D}_2\text{O}$	3000	50	50	$0.1 \cdot 10^{-4}$	$10^{-6}$
$\text{H}_2\text{Se}$	2500	8	42	$10^{-10} *$	$10^2$
$\text{H}_2\text{S}$	2797	5	50	$10^{-10} *$	$10^2$

\*  $\epsilon_{10}$  вычислено с помощью формулы (6).

Точность вычисленных значений  $\epsilon_{10}$  можно оценить в 100%, ибо константа ангармонизма  $x_e$  для высоковозбужденных уровней экспериментально неизвестна и поэтому вычислялась по формуле  $x_e = \omega^2/4(D + \omega/2)$ , где  $D$  — энергия диссоциации радикала XY.

Приведенные численные результаты, а также вид аналитической зависимости энергетического расщепления  $\epsilon_n(N)$  от номера колебаний  $N$  и молекулярных параметров  $\beta$  и  $x_e$  [см. формулы (6) и (19)] показывают, что энергетическое расщепление симметричного и антисимметричного термов при больших  $N$  много меньше аналогичного расщепления при малых  $N$  и уменьшается при увеличении константы ангармонизма  $x_e$ . В соответствии с этим время перехода колебательного возбуждения с одной связи на другую увеличивается при переходе к более высоким уровням и оказывается аномально большим для высоковозбужденных состояний с номерами  $N \sim 10$ . Так, для молекулы  $\text{H}_2\text{O}$  время перехода возбуждения с номером  $N=10$  порядка  $10^{-3}$  сек., в то время как время перехода колебательных возбуждений с  $N \sim 1$  есть величина порядка  $10^{-12}$  сек. Таким образом, мы приходим к выводу, что в молекулах типа XY<sub>2</sub> наличие ангармонизма приводит к локализации энергии высоковозбужденного колебания на валентной связи.

В заключение отметим, что учет спина тождественных ядер не меняет сделанных выводов.

Авторы благодарны М. А. Ельяшевичу и И. А. Мисуркину за интерес к работе и критические замечания.

### Литература

- [1] Г. Г е р ц б е р г. Колебательные и вращательные спектры многоатомных молекул. ИЛ, М., 1949.
- [2] М. А. Е л ь я ш е в и ч. Тр. ГОИ, 12, вып. 106, 1938.
- [3] А. А. О в ч и н尼 к о в, Н. С. Э р и х м а н. Опт. и спектр., 34, в. 5, 1973.
- [4] А. А. О в ч и нни к о в. ЖЭТФ, 57, 263, 1969.
- [5] М. И. П од г о р е ц к и й, О. А. Х р у с та л е в. Усп. физ. наук, 81, 217, 1963.
- [6] H. S. Neaps, G. Herzberg. Z. Phys., 133, 48, 1952.
- [7] Л. В. Г у р в и ч, Г. А. Х а ч к у р у з о в, В. А. М е д в е д е в, И. В. В е й ц, Г. А. Б е р г м а н, В. С. Ю н г м а н, Н. П. Р ти щ е в а. Л. Ф. К у р а т о в а. Термодинамические свойства индивидуальных веществ. Изд. АН ССР, М., 1962.

Поступило в Редакцию 18 августа 1969 г.